

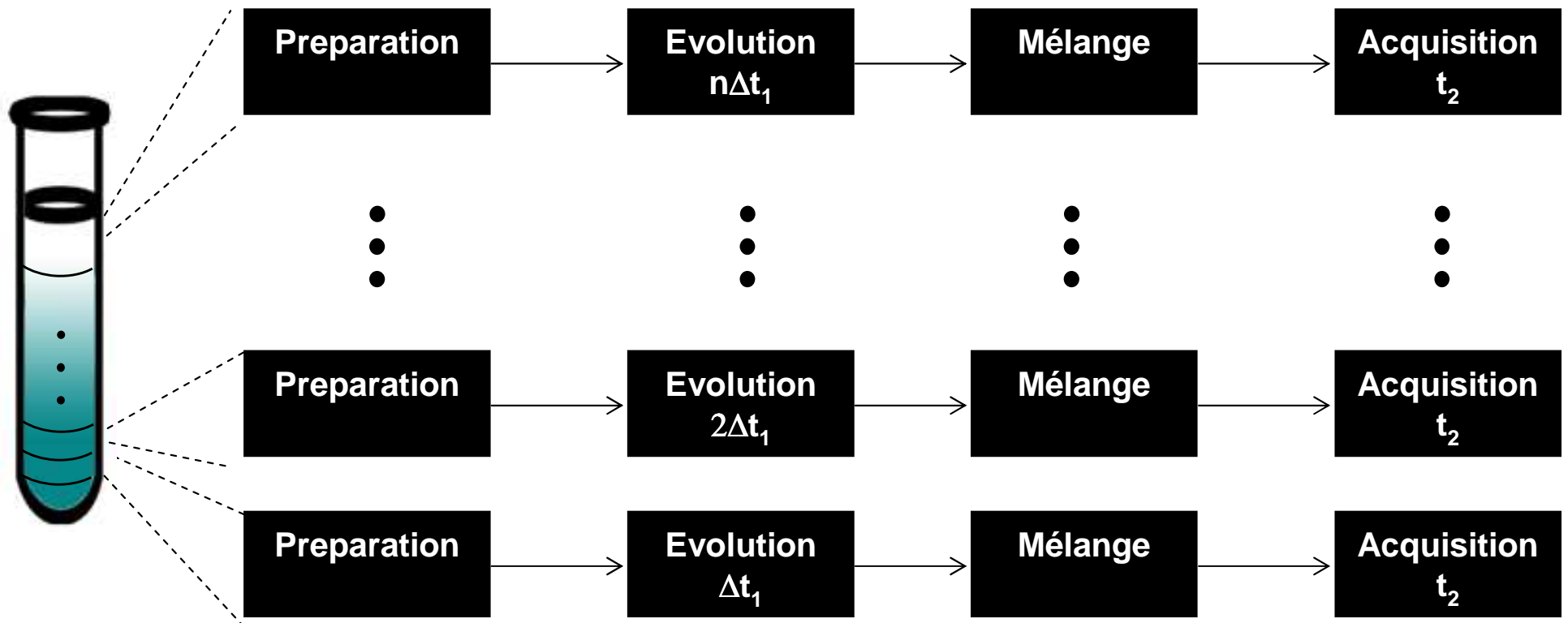
OPTIMISATION DE LA RMN 2D ULTRARAPIDE POUR L'ANALYSE STRUCTURALE DE MOLECULES ORGANIQUES

Patrick GIRAUDEAU et Serge AKOKA

CEISAM, Université de Nantes, France

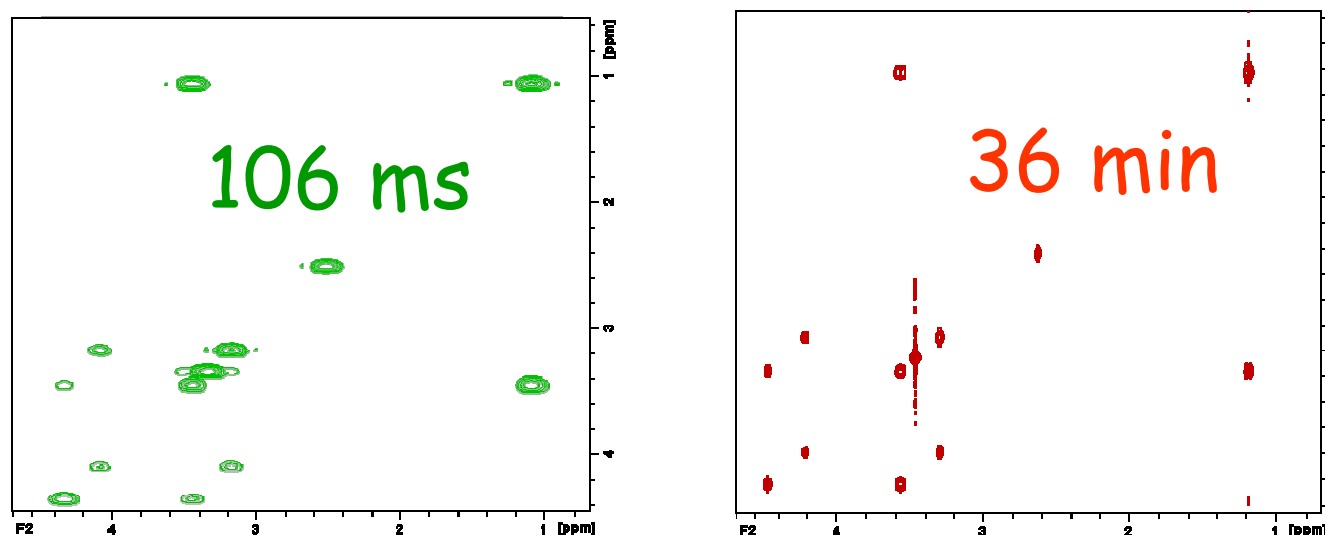
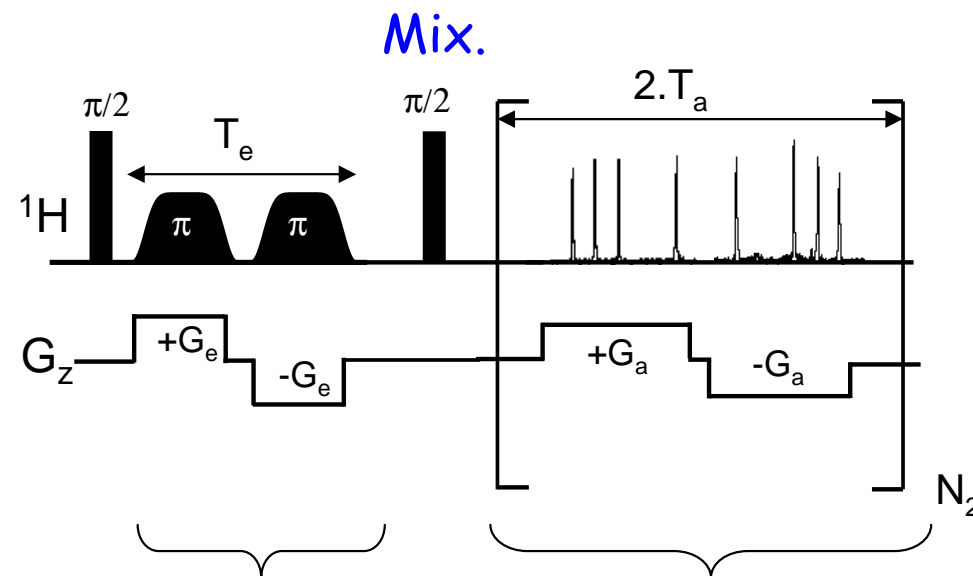


Principe

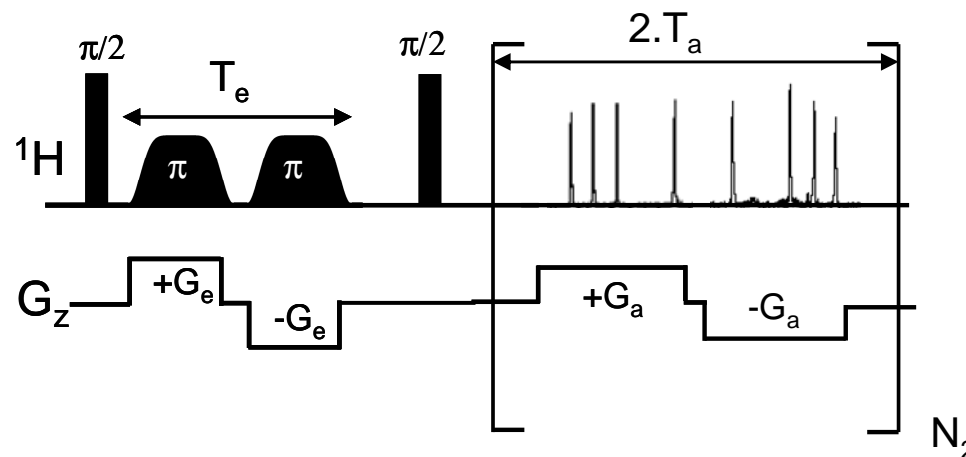


Spectre 2D en un seul scan!

Exemple – COSY Ultrarapide



Limites en résolution et sensibilité

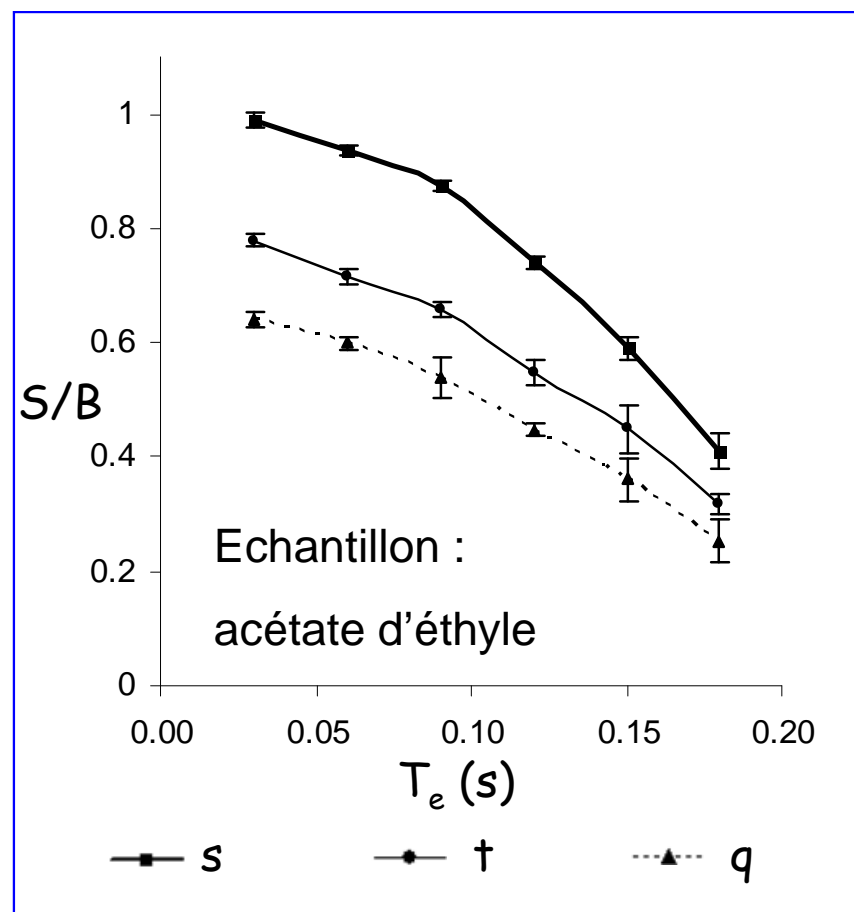


Solution : $\uparrow T_e$
→ Meilleure résolution

MAIS S/B ↓
(Diffusion + J-modulation)

Δv : Largeur des pics dans la dimension ultrarapide

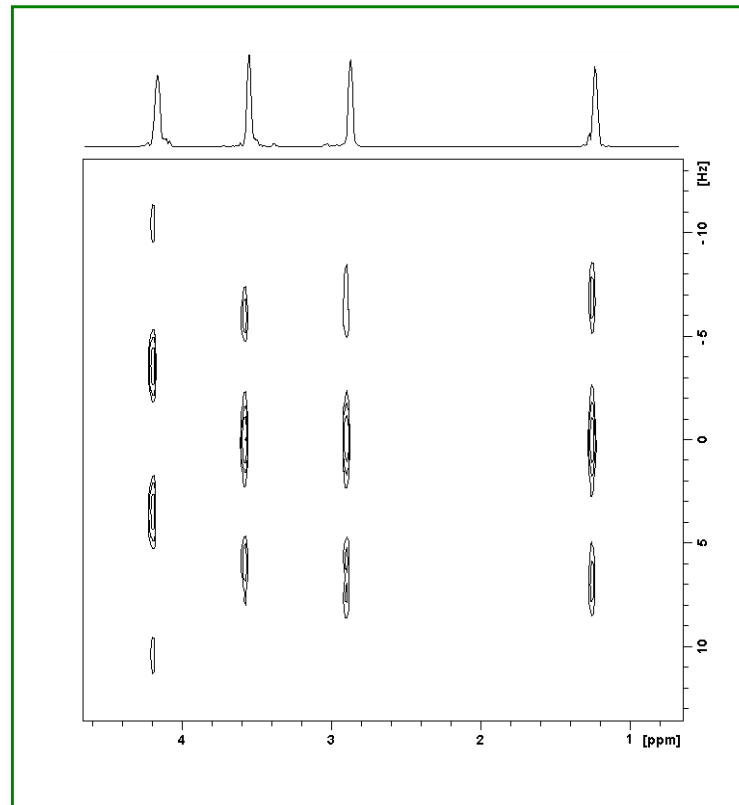
$$\Delta v \approx \frac{1.21}{2 \cdot T_e}$$



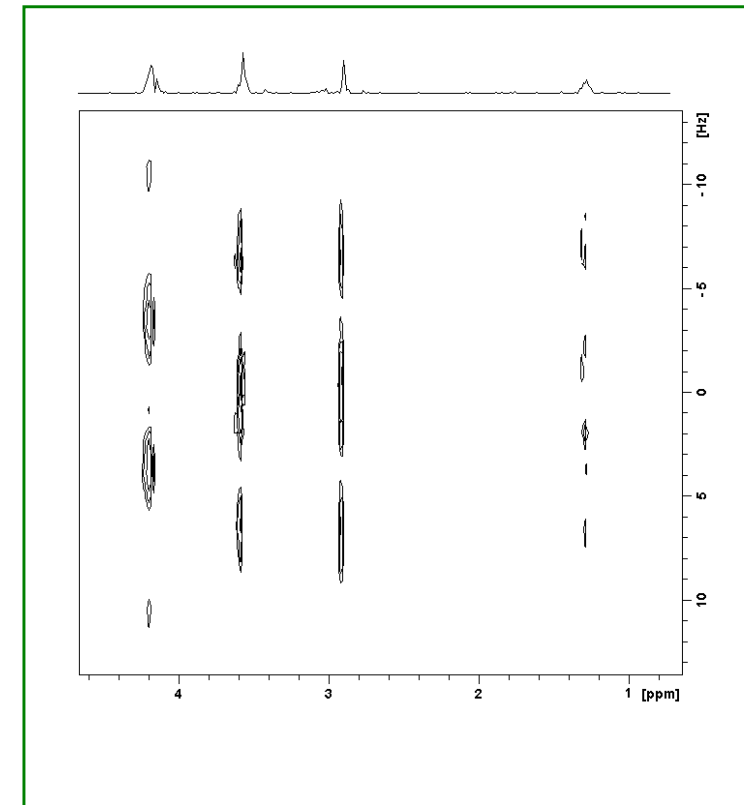
Limites en résolution et sensibilité

Exemple : RMN 2D J -résolue ultrarapide

$T_e = 60 \text{ ms}$



$T_e = 120 \text{ ms}$



$$\Delta\nu = 17 \pm 1 \text{ Hz}$$

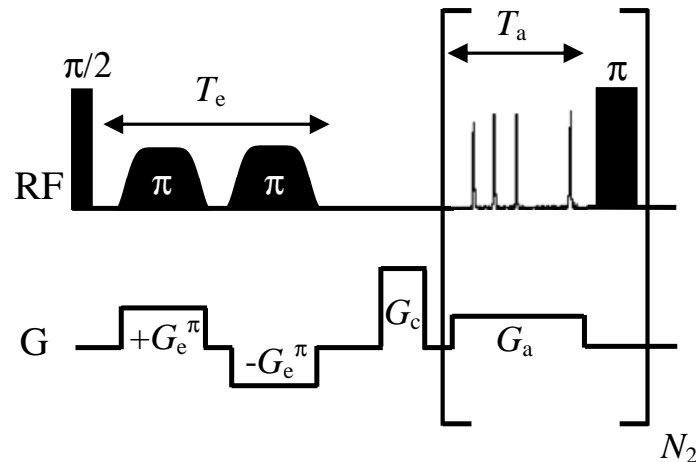
$$S/B = 140 \pm 15$$

$$\Delta\nu = 13 \pm 1 \text{ Hz}$$

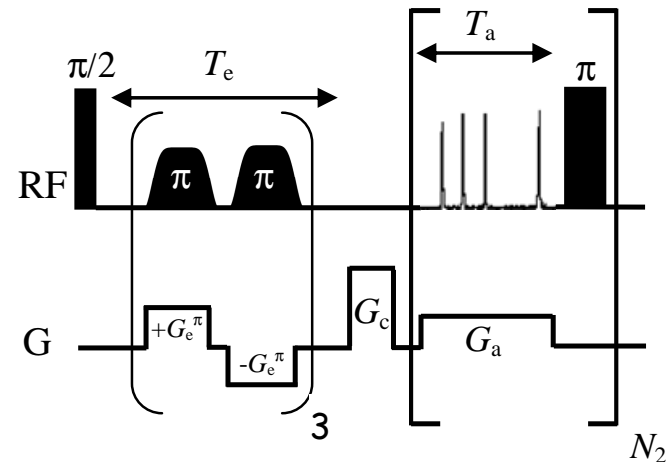
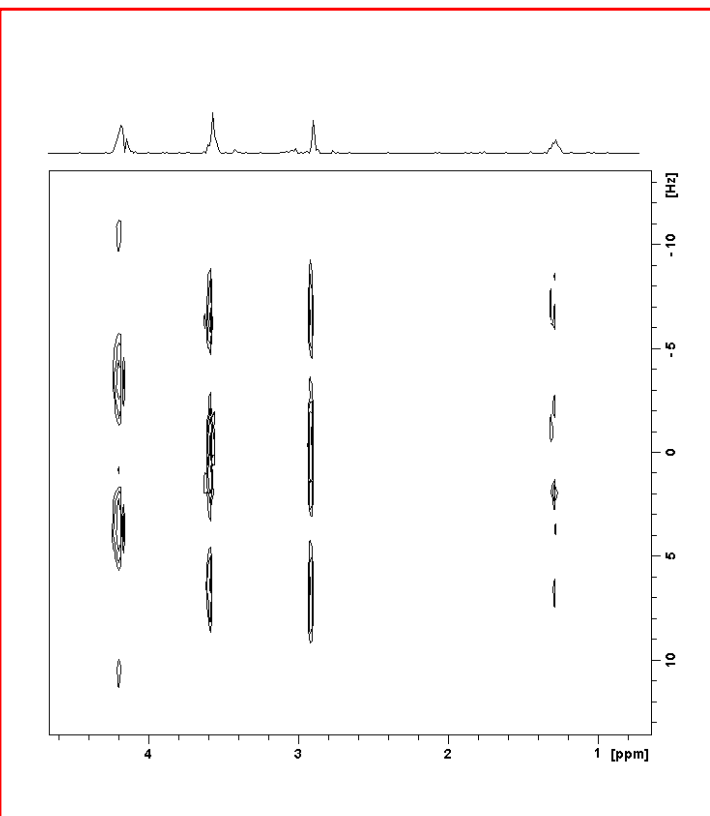
$$S/B = 15 \pm 5$$

Distorsions d'intensité

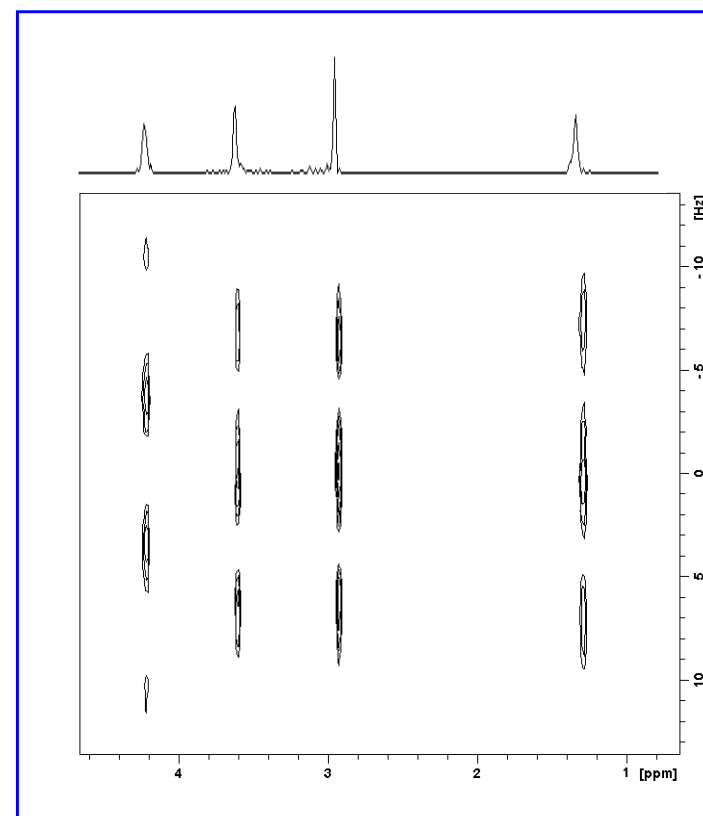
Solution : excitation multi-écho



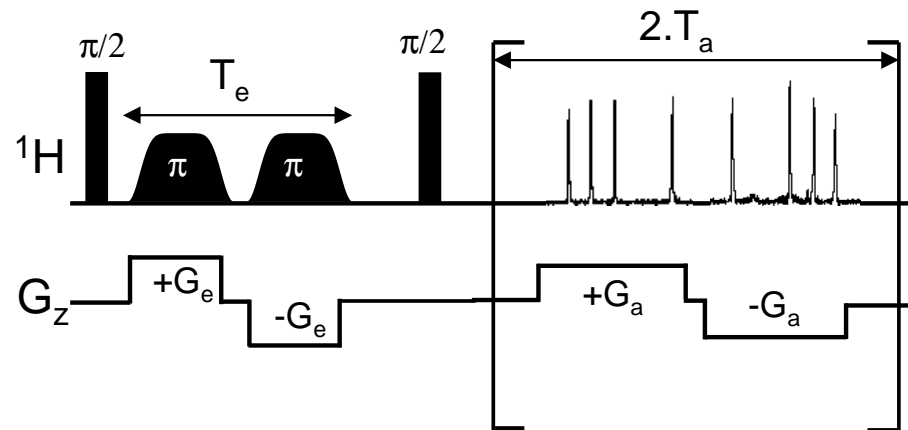
$T_e = 120 \text{ ms}, 2 \text{ échos}$



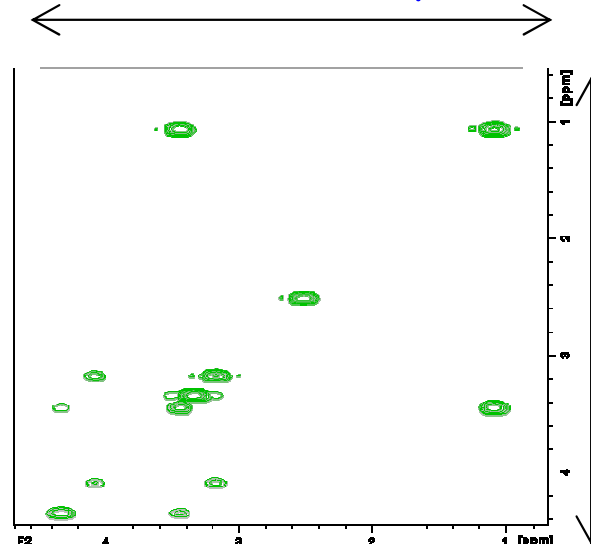
$T_e = 120 \text{ ms}, 6 \text{ échos}$



Limitations : largeur spectrale, sensibilité et résolution



Dimension ultrarapide: SW_2



Dimension Conventionnelle:
 SW_1

Δv : Résolution (largeur des pics dans la dimension ultrarapide)

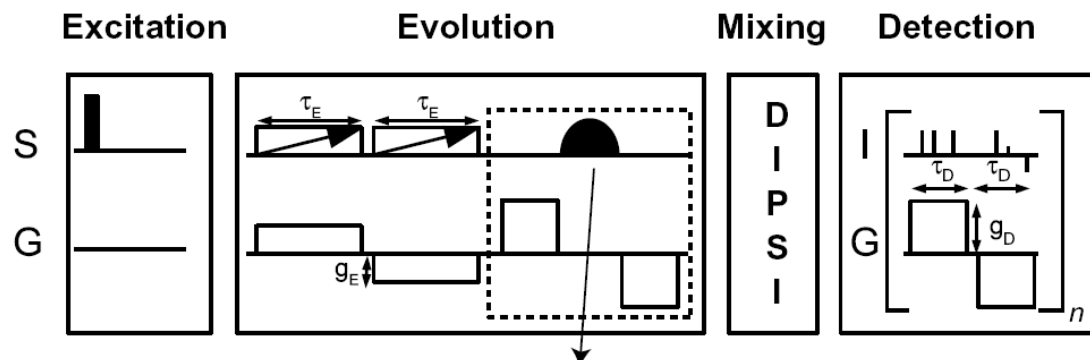
$$\gamma \cdot G_a \cdot L = \frac{2 \cdot SW_1 \cdot SW_2}{\Delta v}$$

$$S / B = \sqrt{\frac{\Delta v}{2 \cdot SW_1 \cdot SW_2}}$$

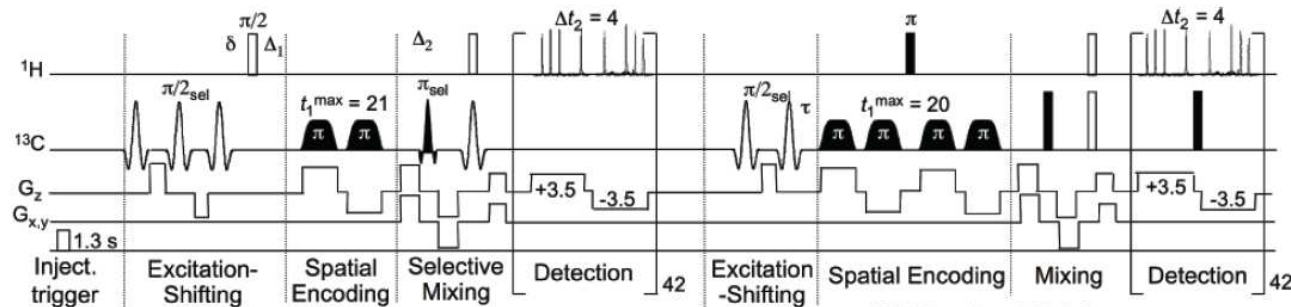
Y. Shrot *et al.* J. Chem. Phys. 2009

Pas de repliement possible dans la dimension ultrarapide ! (pas de TF)

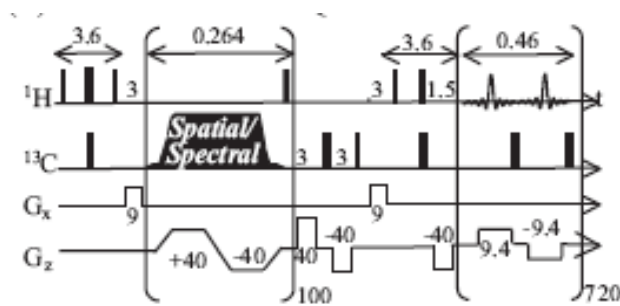
Largeurs spectrales : Solutions proposées



P. Pelupessy *et al*, JMR 2008



P. Giraudeau *et al*, JACS 2009



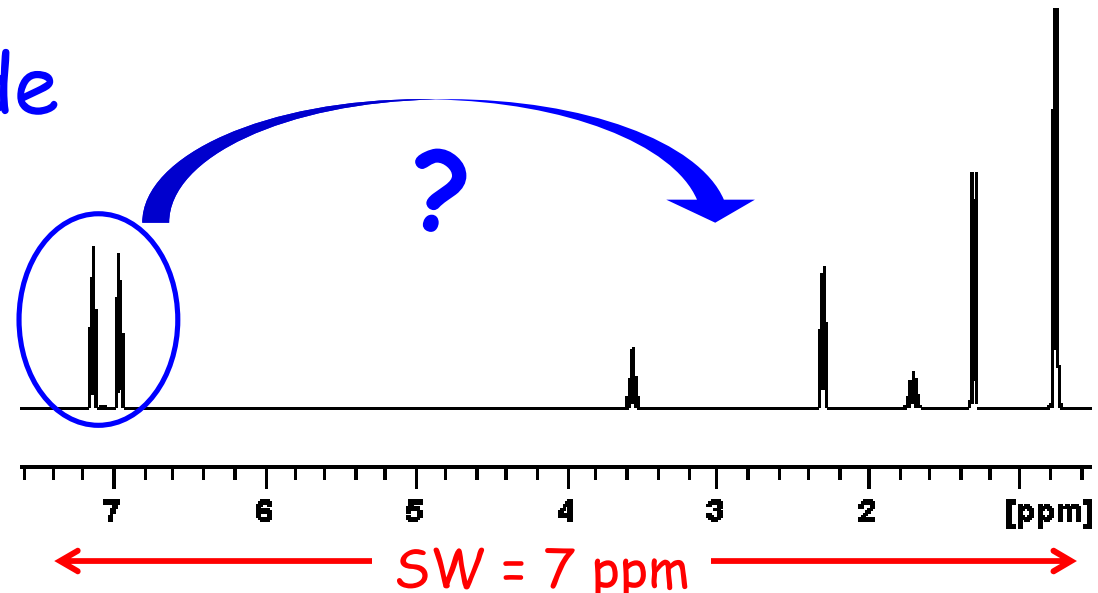
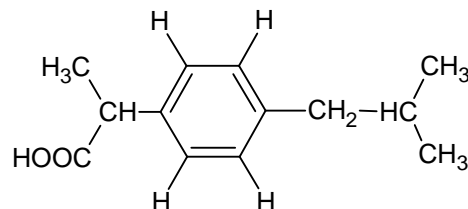
Y. Shrot *et al*, J. Chem. Phys. 2009

→ Méthodes basées sur des impulsions sélectives

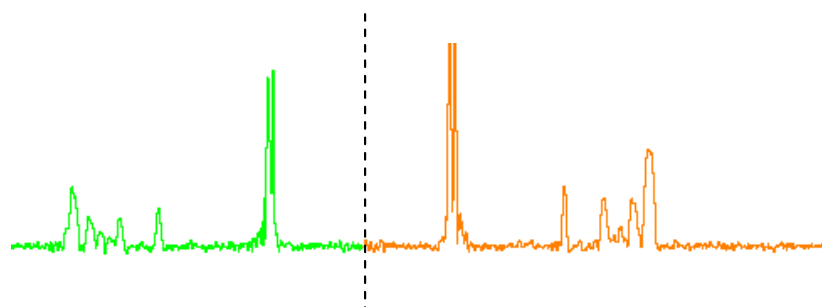
Solution : “Gradient-only controled folding”

COSY-DQF ultrarapide

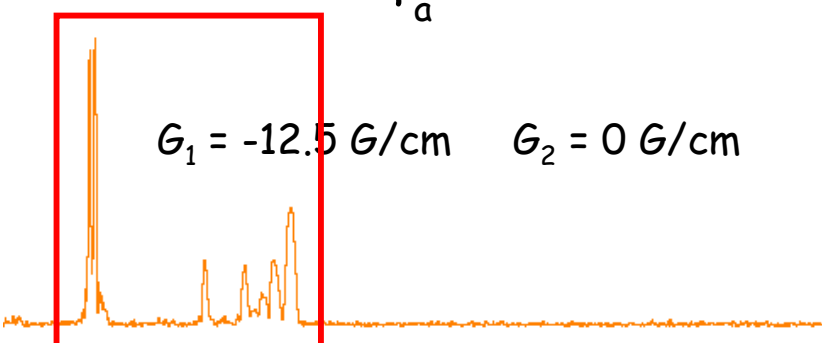
Ibuprofène 100 mM



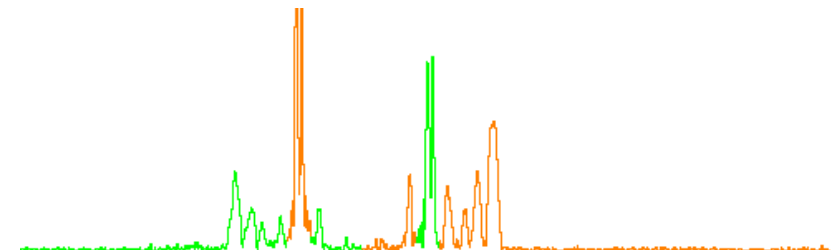
$G_1 = -12.5 \text{ G/cm}$ $G_2 = -58 \text{ G/cm}$



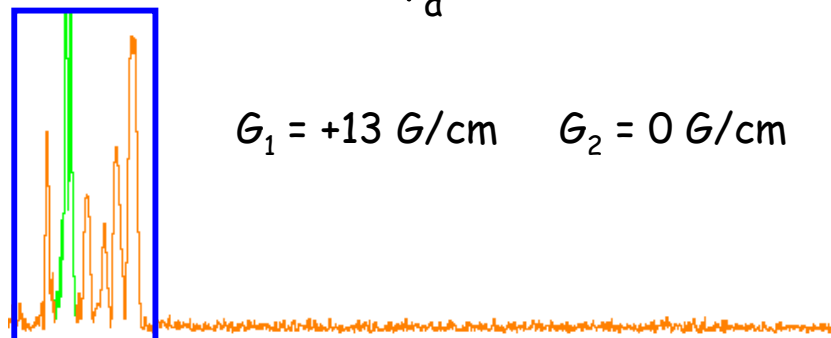
$G_1 = -12.5 \text{ G/cm}$ $G_2 = 0 \text{ G/cm}$



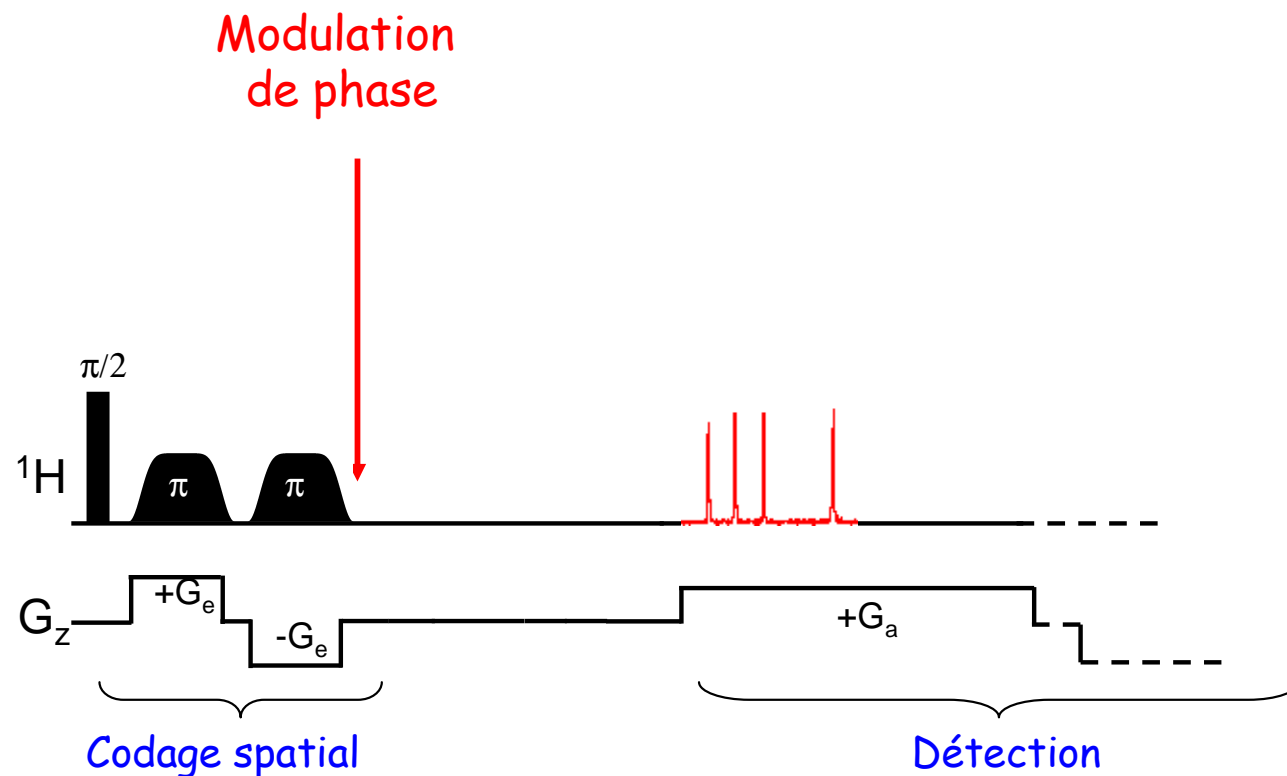
$G_1 = +13 \text{ G/cm}$ $G_2 = -58 \text{ G/cm}$



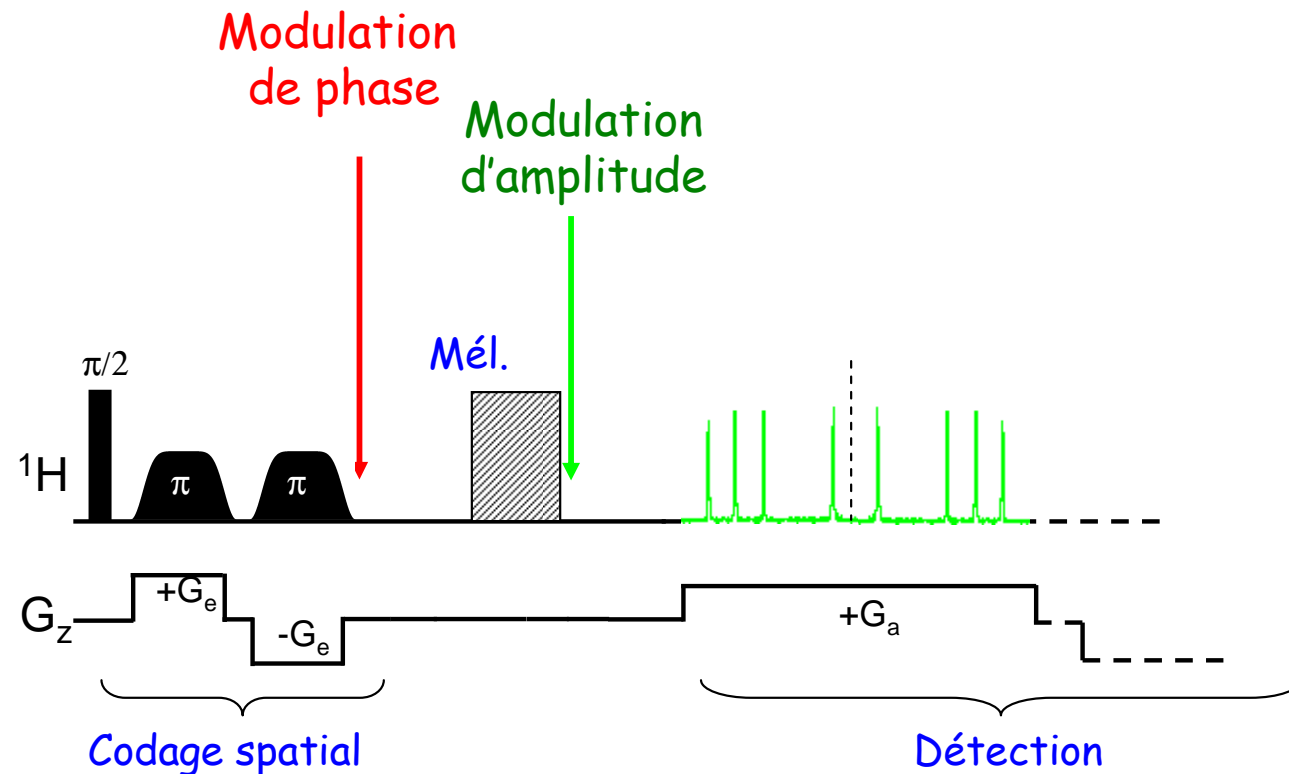
$G_1 = +13 \text{ G/cm}$ $G_2 = 0 \text{ G/cm}$



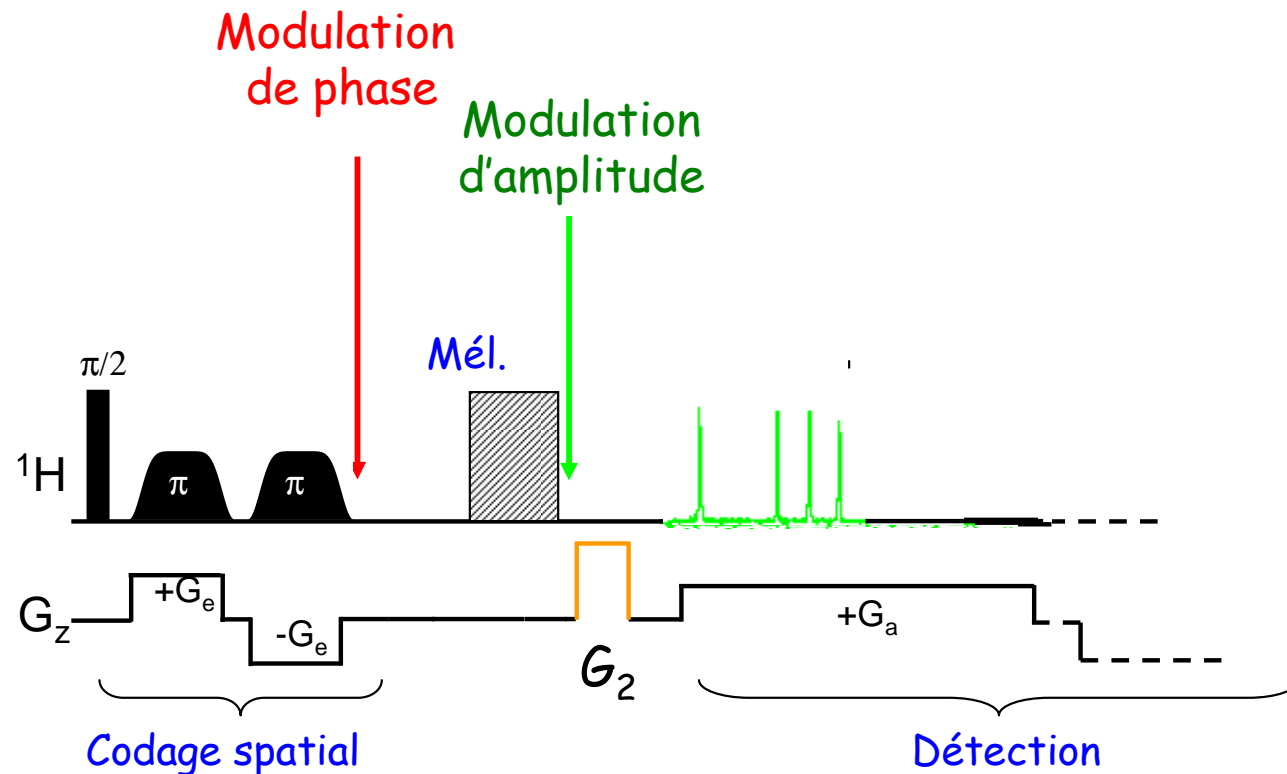
Solution : “Gradient-only controled folding”



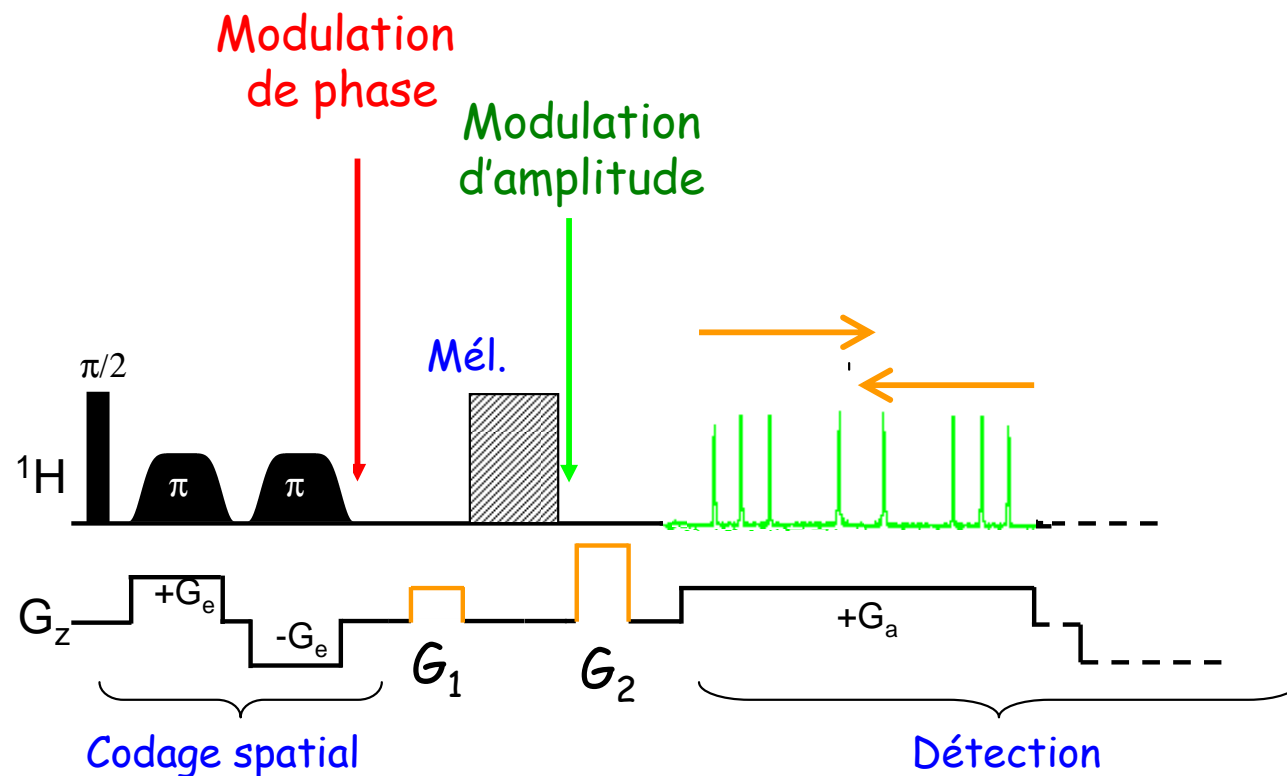
Solution : “Gradient-only controled folding”



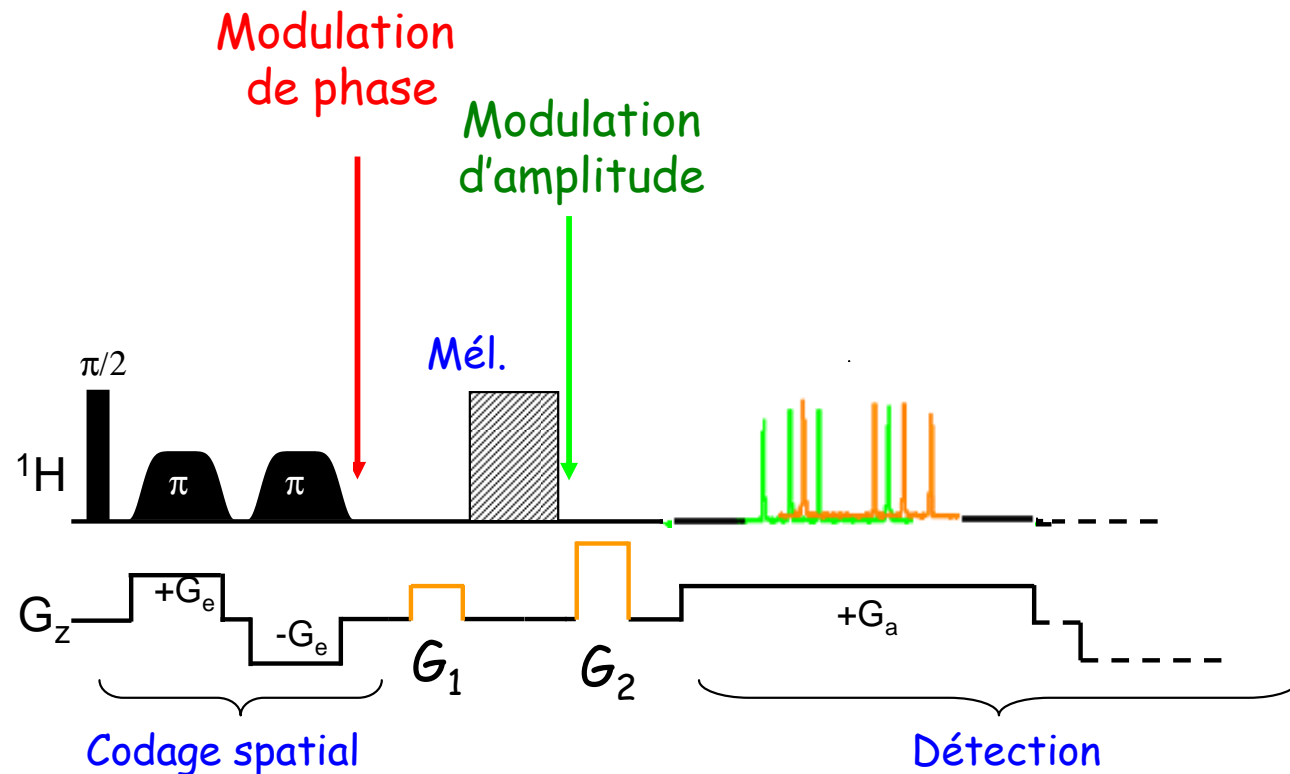
Solution : “Gradient-only controled folding”



Solution : “Gradient-only controled folding”



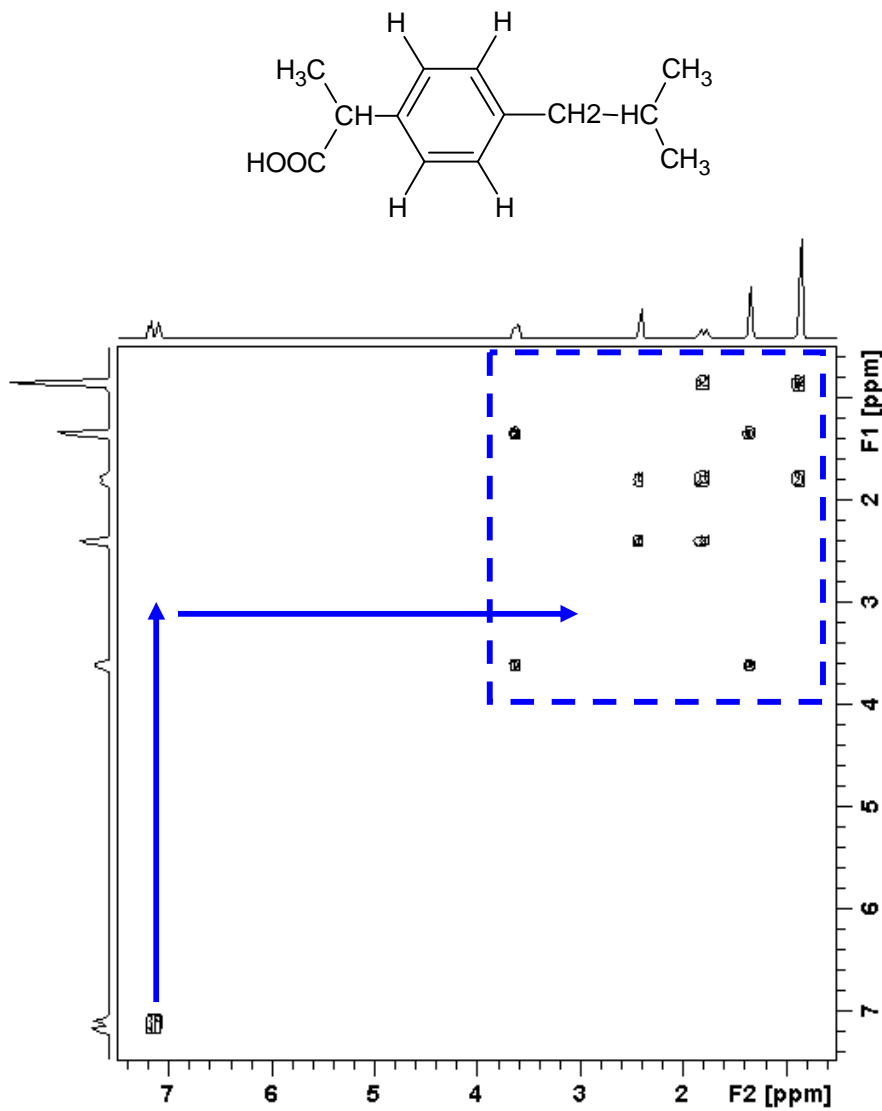
Solution : “Gradient-only controled folding”



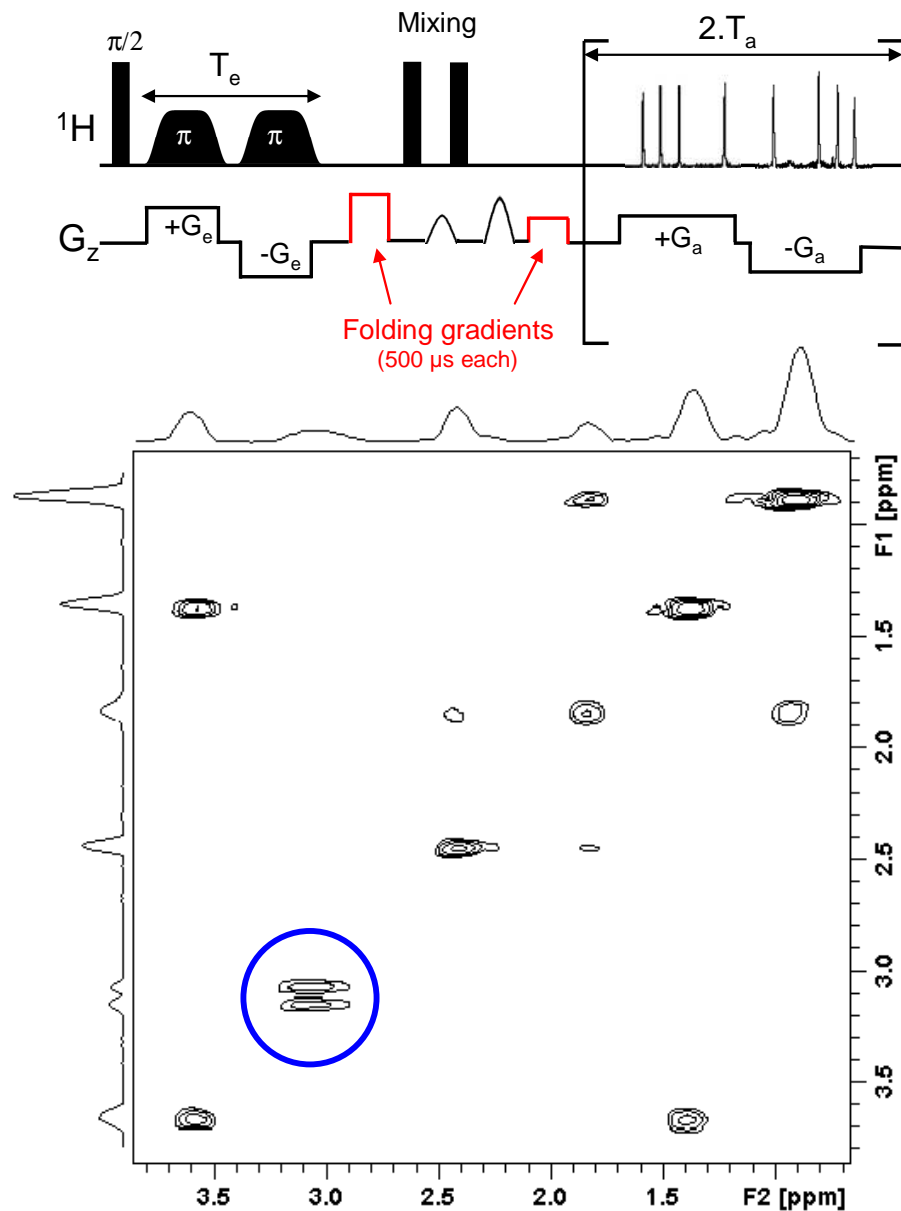
- Grandes gammes spectrales sans perte de résolution ou S/B
- Pas d'impulsions sélectives
- Facile à implémenter en routine
- Applicable à la quasi-totalité des expériences ultrarapides

Solution : “Gradient-only controled folding”

COSY-DQF ultrarapide - Ibuprofène 100 mM



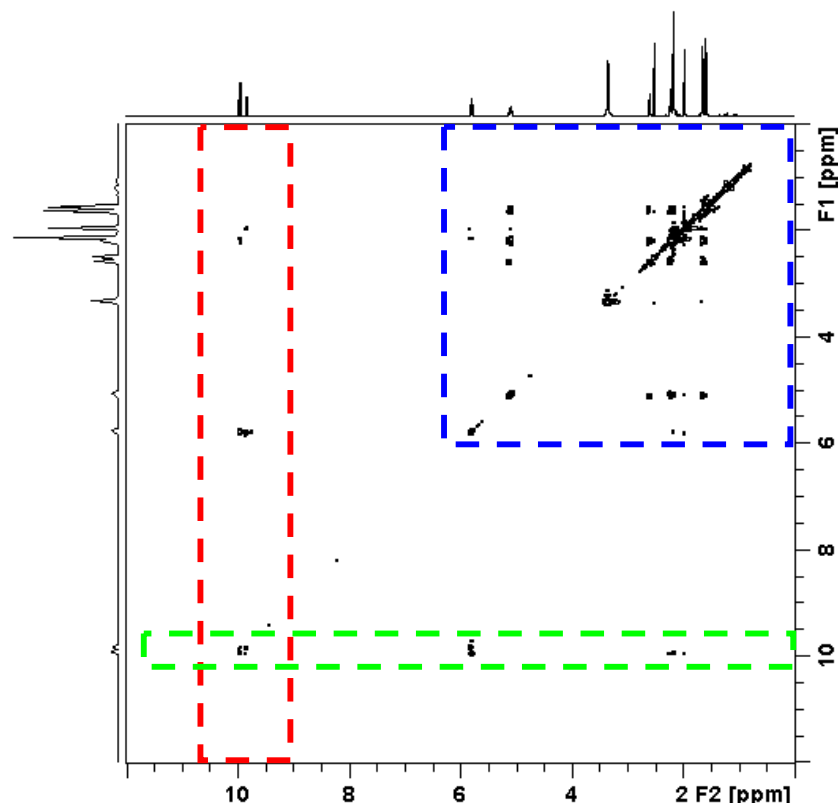
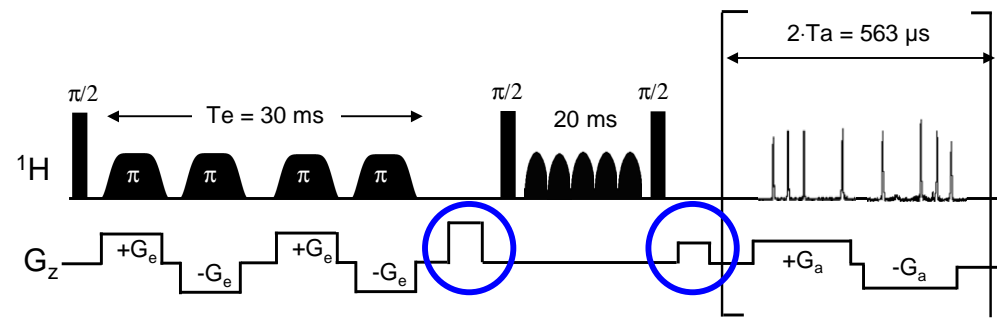
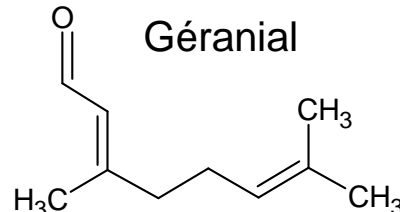
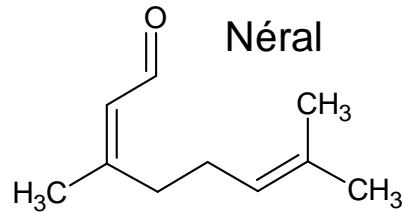
COSY-DQF Conventionnelle – 13 min



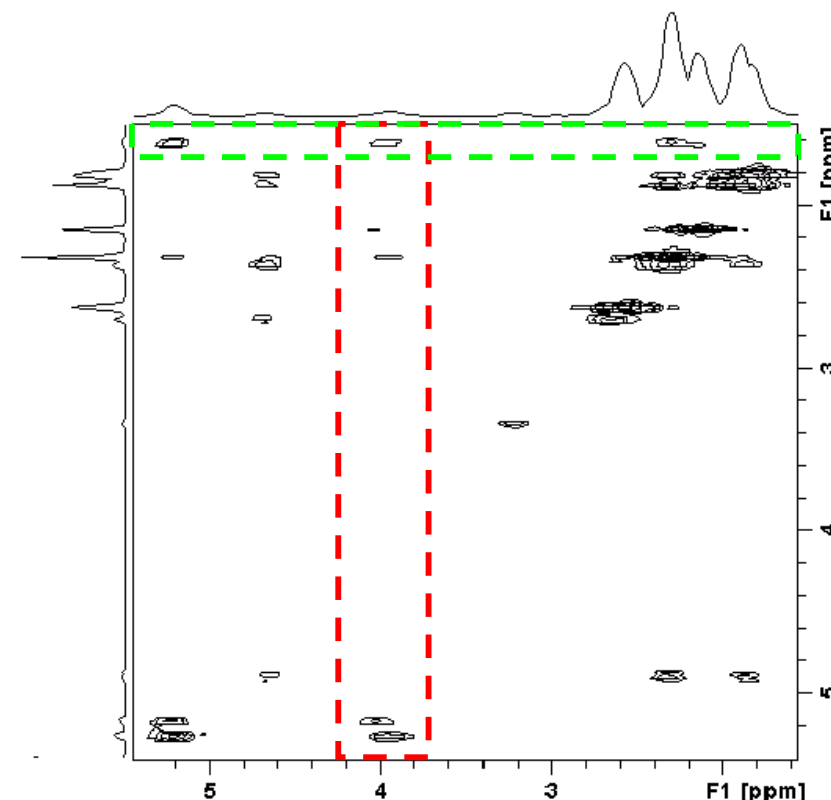
DQF-COSY Ultrarapide – 0.2 s

Application à un mélange de citrals

zTOCSY Ultrarapide



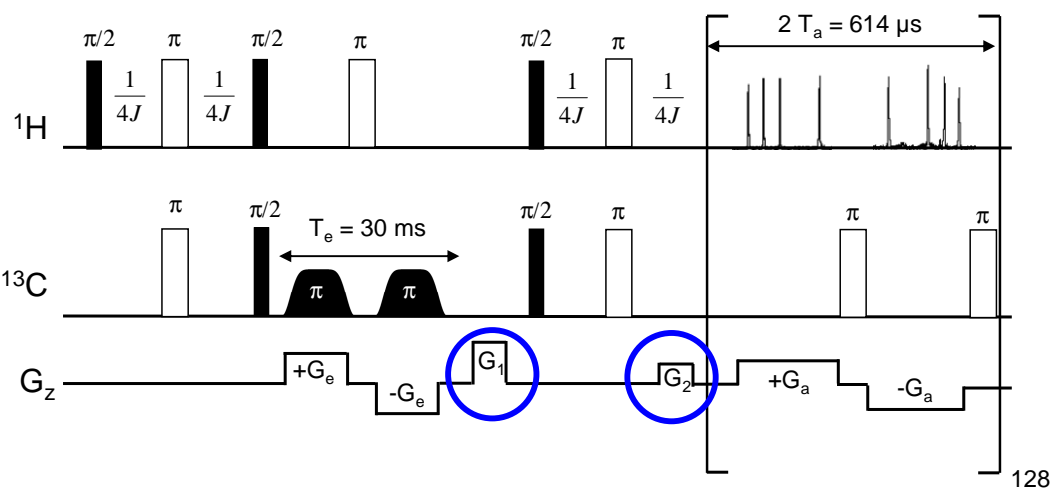
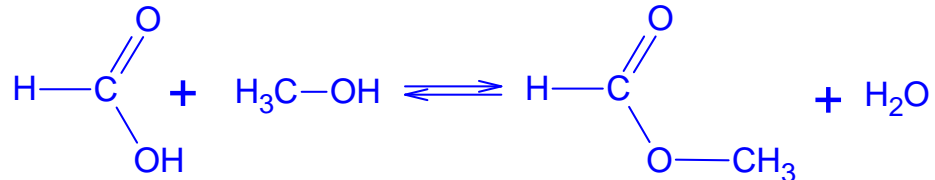
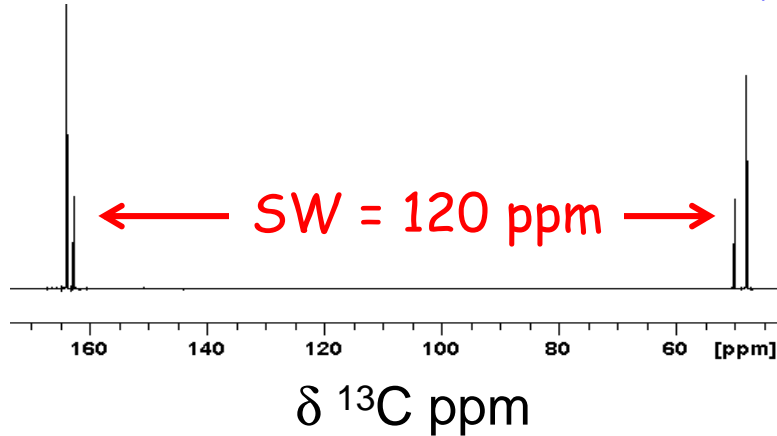
2D TOCSY Conventionnelle – 50 min



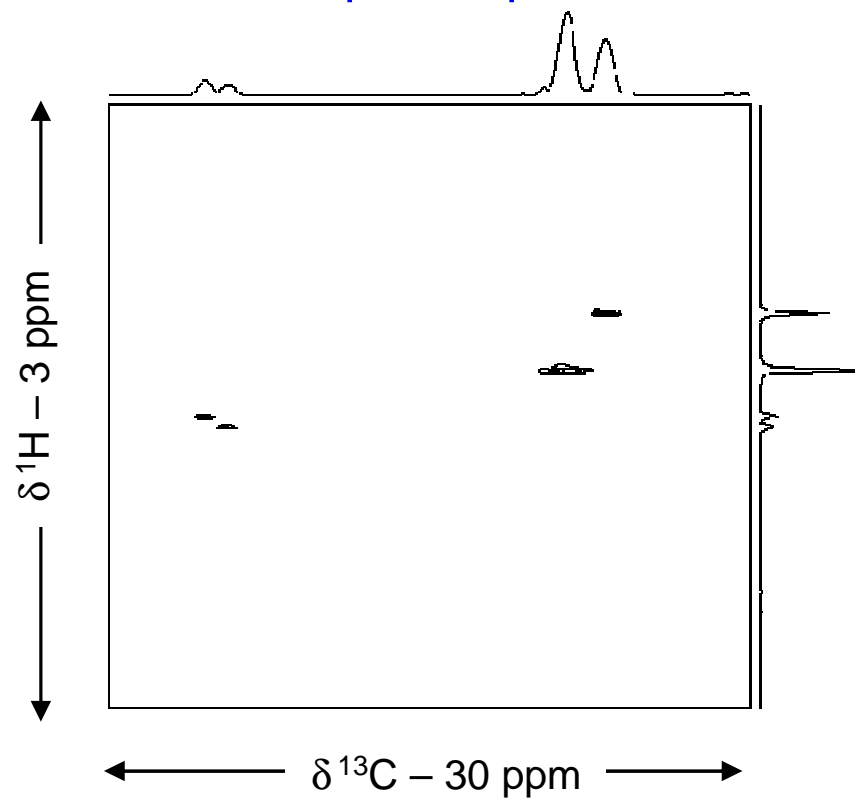
2D TOCSY Ultrarapide – 0.2 s

Application à la RMN 2D Hétéronucléaire

HSQC Ultrarapide



HSQC Ultrarapide repliée – 0.12 s



Conclusion

- Méthodes ultrarapides optimisées (S/B, résolution, SW)
- Facilement implantable en routine
- Applicable à des échantillons de complexité croissante

Perspectives

- Ajustement automatique des paramètres expérimentaux
- Reconstruction des spectres non-repliés
- Vers une utilisation en routine de la RMN 2D ultrarapide...

Remerciements

Groupe EBSI-Nantes



Serge Akoka



Benoît Charrier



Virginie Silvestre



Gérald Remaud



Illa Tea



Estelle Martineau



Pauline Lemeunier



Mathieu Coutand

Collaborateurs

Weizmann Institute, Rehovot

Lucio Frydman

Yoav Shrot

Talia Harris

Etc...

Université de Toulouse

Jean-Charles Portais

Stéphane Massou

CREATIS-LRMN, Lyon

Sophie Cavassila

Hélène Ratiney

Tangi Roussel

Et l'ensemble
du groupe...